

乱流境界層内における長大吊橋の耐風性に関する2,3の研究

京都大学 工博 小西 一郎 京都大学 工博 白石 成人  
 京都大学 工博 松本 勝 日立造船 工修 酒井 基一郎  
 京都大学 岸本 良孝

1. 序論

従来より長大橋の耐風性に関してかなりの研究成果が報告されているが、そのほとんどが部分模型による実験的研究が主であり、全空間模型を用いた乱流中における研究報告は非常に少ないのが現状である。風の変動成分の影響、すなわち、乱流の成分による強制振動に関する考察は、A.G. Davenport により最初に評価が加えられたが、自然風の確率統計的特性が把握されていない現在では、この問題の一つの大きな課題である。風洞内において全空間模型を用いて実験的研究を行う場合には、一様流中だけでなく乱流境界層を風洞内にシミュレーションして乱流の影響について実験的に考察する必要がある。今回の報告においては、乱流境界層のコーレンスを求め、その結果を用いて Aerodynamic Admittance, Joint Mode Acceptance を計算し、応答のパワースペクトルを推定する。そして平板断面を有する三次元模型を使用し乱流の成分の影響について考察を加えるものである。

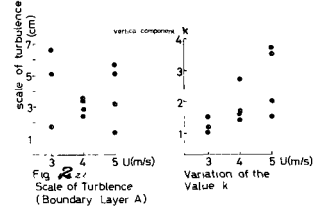
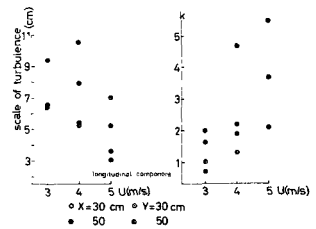
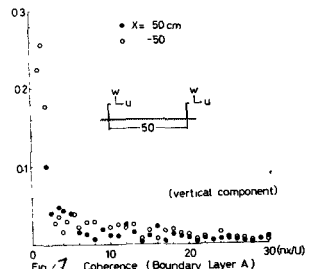
2. 実験結果および考察

2.1 乱流境界層のコーレンス

今回の実験においては、円錐型乱流境界層発生装置と曲線平板型乱流境界層発生装置の2種類のタイプについてコーレンスを求めたが、ここにおいて前者の場合についてのみ報告する。図1に示すように、風の鉛直変動成分のコーレンスは A.G. Davenport が報告しているように指数関数的に減少していることがわかる。従って、乱流境界層のコーレンスは、 $\sqrt{\text{coherence}} = \exp(-k n z / \bar{u})$  ( $n$ : 振動数,  $\bar{u}$ : 平均風速) で置き換えたものと見做すことができ、この式の  $k$  値を種々の場合について求めた。この結果を示したのが図2である。図2からわかるように流線方向(矢印)におけるコーレンスの  $k$  値は1.6程度の値を示しているが、流線に直角で水平方向(矢印)における  $k$  値は風速の増加に従って増加する傾向が見られる。

2.2 乱流中における平板状構造物の空気力学的特性

乱流中における構造物の空気力学的特性を研究するにあたり本研究においては、理論的に実験的に最も研究が進んでいると思われる平板状構造物を対象として選んだ。実験に使用した模型は図3に示されるように、平板は3本の *wire* により支持されスパンの各端、各端に測定用カーブが設定されている。乱流境界層中における実験の際、逆対称振動が観察されたので、夫々の水位変位のパワースペクトルは各端で評価されている。



乱流境界層内で平板状構造物の空気力学的特性を実験的に研究する前に、一様流中において平板状構造物のフラッシュテストを行なった。この結果は図示されておるが、構造物の共振風速は10.3%であり、たわみ振動とねじれ振動の連成振動が観察された。つきに同じ実験を乱流境界層内において行なったところ共振風速は13.3%と対り両者を比較すると3%の風速増加が見られる。この結果から考えて乱流の成分が構造物に安定化効果があると考えられるが、乱流のスケールの観点から見て構造物のスケールと乱流のスケールがどのような比率の場合に乱流の成分が構造物に最大の効果を与えるかという問題は今後研究するべき課題であると考えられる。

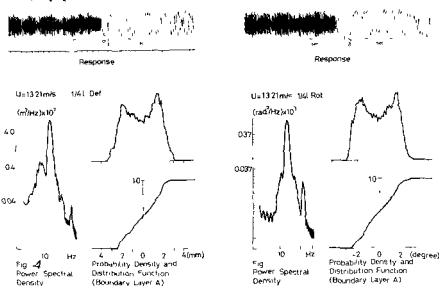
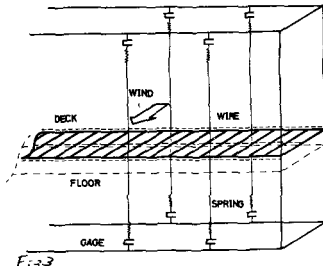


図4の模型の乱流境界層中における応答(たわみ変位,ねじれ変位)のパワースペクトルを示したものであるが平板状構造物の Aerodynamic Admittance 及び Theodorsen 関数を用いて

$$|XA|^2 = |C(k)|^2 \frac{8\pi^2}{k^2 k'^2} \left\{ -1 + \frac{k k'}{2\pi} + e^{-\frac{k k'}{2\pi}} \right\}$$

と表わされる。ここに \$k\$ は換算振動数である。また、Joint Mode Acceptance 関数(2)を Mode 関数として

$$|J(f)|^2 = \frac{1}{N_i^2} \iint R(x, x', f) \psi(x) \psi(x') dx dx'$$

\$N\_i = \int \psi^2 dx\$ と表わされる。計算結果は図5に示すものである。実験値から得られたコヒーレンスの \$k\$ 値を用いて模型のパワースペクトルを計算した結果が図6である。これは実験により得られたパワースペクトルと大体一致した値を示しているが、A.G. Davenport の流れ方向に関する \$k\$ 値を \$k=1\$ と取り、今回の実験により得られたデータでは 1.6 程度の値を示している。この点については自然風の観測結果が非常に少ないということと A.G. Davenport がコヒーレンスを求める場合にクロススペクトルの虚数部を無視しているということが問題とされたが、今後この方向の研究が必要であると考えられる。

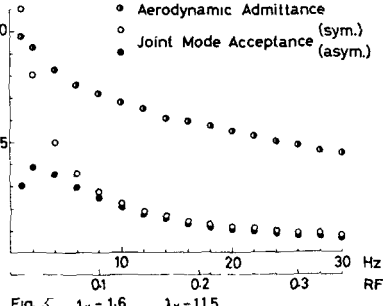


Fig. 5 \$\lambda\_x = 1.6\$ \$\lambda\_y = 115\$

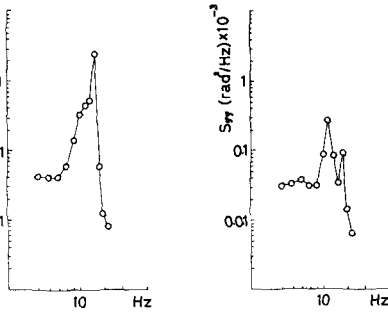


Fig. 6 Power Spectrum at Quater Point \$\lambda\_x = 1.6\$ \$\lambda\_y = 115\$ \$U = 13.21 m/s\$

(参考文献)

A. G. Davenport : A Statistical Approach to the Treatment of Wind loading on Tall Masts and Suspension Bridges, Ph.D. Presentation, Univ. of Bristol, March, 1961  
 N. Shirahashi : Fundamental Investigation of Vibrational and Aerodynamic Characteristics of Longspaned Suspension Bridge, Doctor thesis, Kyoto Univ., August, 1970